

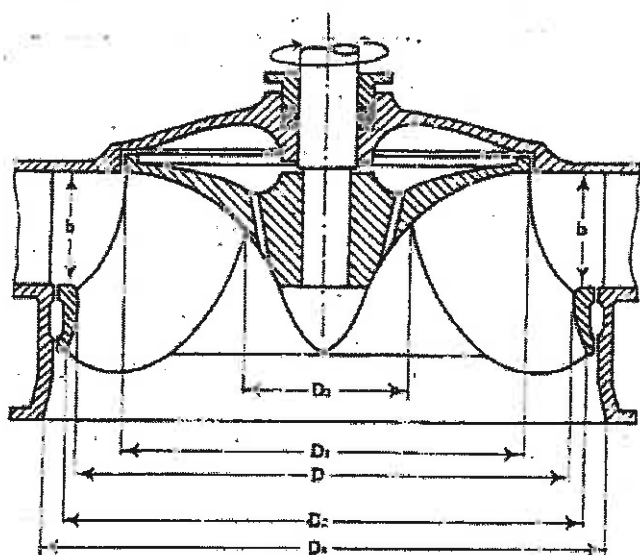
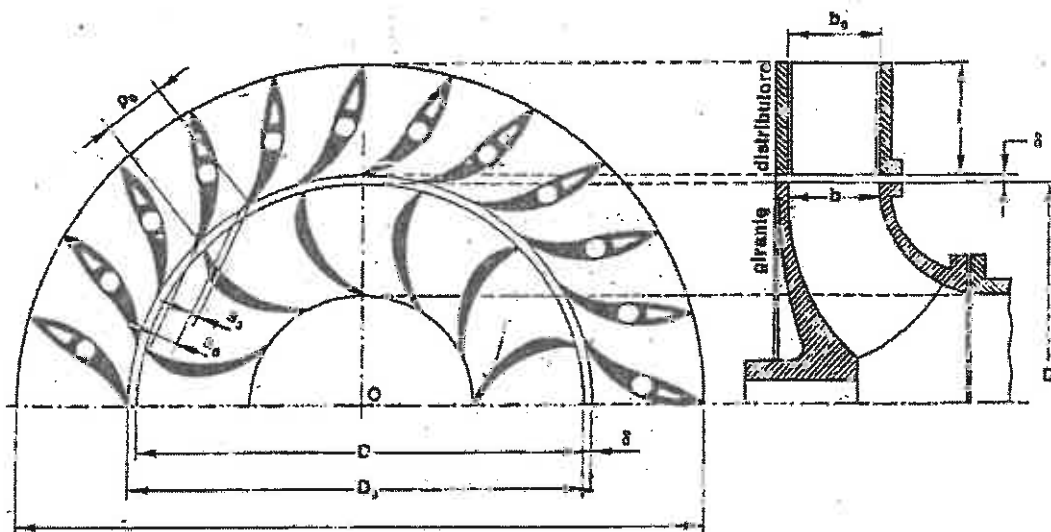
Ministero dell'Istruzione, dell'Università e della Ricerca

M950 - ESAME DI STATO DI ISTITUTO TECNICO INDUSTRIALE

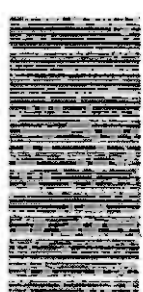
CORSO DI ORDINAMENTO

Indirizzo: TERMOTECNICA

Tema di: TERMOTECNICA, MACCHINE A FLUIDO



14775.2.1/1



Ministero dell'Istruzione, dell'Università e della Ricerca

M950 – ESAME DI STATO DI ISTITUTO TECNICO INDUSTRIALE

CORSO DI ORDINAMENTO

Indirizzo: TERMOTECNICA

Tema di: TERMOTECNICA. MACCHINE A FLUIDO

La turbina idraulica FRANCIS in figura, è utta ad azionare un alternatore con sei coppie di poli per la produzione di corrente elettrica con frequenza 50 Hz.

Il distributore circolare conta un numero di pale fisse pari a 24, il passo p_0 tra una pala fissa e l'altra è di 0,40 m e la distanza b_0 tra le pale fisse e il diaframma risulta di 0,30 m.

Il candidato, assumendo opportunamente i valori per gli elementi non dati, determini, utilizzando le unità di misura del S.I.:

1. la portata volumetrica utilizzata;
2. il salto netto disponibile;
3. la potenza effettiva della turbina;
4. il numero di giri caratteristico;
5. le dimensioni principali ed il numero delle pale mobili della girante.

Leggendo i dati del testo, è possibile ricavare, in prima ipotesi, il diametro D_0' del distributore, assumendo per il coefficiente di ingombro palare $E_1 = 0,95$.

$$D_0' = \frac{P_0 \cdot Z_d}{E_1 \cdot \pi} = \frac{0,4 \cdot 24}{0,95 \cdot \pi} = 3,2 \text{ m}$$

determiniamo, ora, il numero di giri dell'alternatore accoppiato alla turbina con la nota relazione:

$$n = \frac{60 \cdot f}{N_{np}} = \frac{60 \cdot 50}{6} = 500 \text{ g/min}$$

Valutando il diametro D_0' , possiamo concludere in seconda ipotesi, che potrebbe trattarsi di una turbina Francis media lenta ed assumiamo come valore dell'eltezza utile disponibile $H_u = 240 \text{ m}$ ed un numero di giri caratteristico $n_p = n_c = 105$.

Del grafico di fig. 3, caduta massima, per un $n_p = 105$ corrisponde a circa una caduta $\max = 265 \text{ m}$; il nostro valore di 240m rientra nei valori di utilizzo delle turbine.

Del grafico di fig. 4 è possibile determinare i diametri della sezione meridiana, essendo i parametri K definiti come:

$$K = \frac{\pi \cdot D_0 \cdot n}{60 \cdot \sqrt{2g} H_u}$$

Il valore di K per $n_p = 105$ corrisponde a circa 0,66 per cui il diametro D corrisponde a:

$$D = \frac{K \cdot 60 \cdot \sqrt{2g} \cdot H_u}{\pi \cdot n} = \frac{0,66 \cdot 60 \cdot \sqrt{2 \cdot 9,81 \cdot 240}}{\pi \cdot 500} = 1,73 \text{ m}$$

e un valore di D_0 , considerando un giogo $\delta = 0,05 \text{ m}$, che corrisponde a: $D_0 = D + (2\delta) = 1,73 + (2 \cdot 0,05) = 1,83 \text{ m}$

il valore di D_0 non coincide affatto con D_0' , ma, per un buon proponimento, il passo P deve essere inferiore all'eltezza b , e nel testo $P_0 = 0,4 \text{ m}$ risulta superiore all'eltezza $b = 0,31$.

Successivamente, andremo a proponziosare il diametro delle girante in funzione del perimetro b . Dal grafico di fig. 5 si ricevano gli altri parametri geometrici:

$$\frac{b}{D} = 0,135 \quad b = D \cdot 0,135 \quad b = 1,73 \cdot 0,135 = 0,2335 \text{ m}$$

valore vicino a quello del testo $b = 0,3 \text{ m}$.

Il nuovo valore del passo palere del distributore sarà:

$$P_0 = \frac{\pi \cdot D_0 \cdot E_1}{Zd} = \frac{\pi \cdot 1,83 \cdot 0,95}{24} = 0,227 \text{ m}$$

come si nota, il nuovo passo palere P_0 del distributore ha un valore decisamente inferiore rispetto a quello del testo, ma per un buon proporzionamento, ho scelto dei valori in linea con il grafico a fig. 5.

Per le turbine in questione si ottiene $D_1 = 0,5 \cdot D = 1,64 \text{ m}$

$$D_2 = \frac{K_2 \cdot 60 \cdot V_{2g} H_u}{\pi \cdot n} = \frac{0,57 \cdot 60 \cdot V_{2g} \cdot 240}{\pi \cdot 500} = 1,49 \text{ m} \approx 1,5 \text{ m}$$

$$D_3 = \frac{K_3 \cdot 60 \cdot V_{2g} H_u}{\pi \cdot n} = \frac{0,38 \cdot 60 \cdot V_{2g} \cdot 240}{\pi \cdot 500} = 0,996 \text{ m} \approx 1 \text{ m}$$

I triangoli di velocità vanno calcolati lungo la linea di flusso media. Bisogna quindi prima calcolare i diametri e le velocità medie:

$$D_{m1} = \frac{D + D_1}{2} = \frac{1,73 + 1,64}{2} = 1,685 \text{ m} \rightarrow u_1 = \frac{\pi \cdot D_{m1} \cdot n}{60} = \frac{\pi \cdot 1,685 \cdot 500}{60} = 41,7 \text{ m/s}$$

$$D_{m2} = \frac{D_2 + D_3}{2} = \frac{1,50 + 1}{2} = 1,25 \text{ m} \rightarrow u_2 = \frac{\pi \cdot D_{m2} \cdot n}{60} = \frac{\pi \cdot 1,25 \cdot 500}{60} = 32,7 \text{ m/s}$$

La velocità media in ingresso si calcola direttamente dall'espressione della portata, assumendo per il coefficiente di ingombro palere $E_1 = 0,95$ e un rendimento volumetrico $\eta_v = 0,98$:

$$C_{m1} = \frac{\eta_v \cdot Q}{\pi \cdot D_{m1} \cdot b \cdot E_1}$$

A vendo scelto a priori il valore del numero di giri caratteristico $n_p = 105$, possiamo determinare il valore della P_{eff} :

$$n_p = \frac{h \cdot V_{Peff}}{H_0^{1,25}} \quad Peff = \frac{(H_0^{1,25} \cdot n_p)^2}{n^2} = \frac{(240^{1,25} \cdot 105)^2}{500^2} = 39352 \text{ kW}$$

Assumendo $\eta_{id} = 0,88$; $\eta_v = 0,88$; $\eta_m = 0,95$ ($\eta_{tot} = 0,82$) si puo' calcolare la Q dell'equazione:

$$Q = \frac{P_{eff}}{\eta_{tot} \cdot g \cdot H_0} = \frac{39352000}{0,82 \cdot 9810 \cdot 240} = 20,38 \text{ m}^3/\text{s}$$

per cui:

$$C_{m1} = \frac{0,98 \cdot 19,73}{\pi \cdot 1,685 \cdot 0,2335 \cdot 0,95} = 16,47 \text{ m/s}$$

In uscita, per porsi nelle condizioni di massimo rendimento delle macchine, si assume $C_{m2} = 0$, ovvero $C_{m2} = C_2$.

Dal grafico in fig. (6), noto il valore di $n_p = 105$, si possono determinare le velocita' assolute in ingresso e uscita delle girante:

$$C_1 = K_{ce} \sqrt{2g H_0} \rightarrow C_1 = 0,68 \cdot \sqrt{2g \cdot 240} = 47,3 \text{ m/s}$$

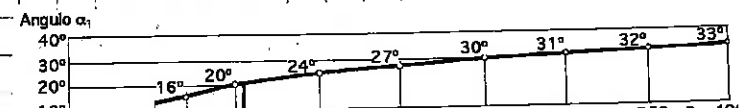
$$C_2 = K_{cu} \cdot \sqrt{2g H_0} \rightarrow C_2 = 0,14 \cdot \sqrt{2g \cdot 240} = 9,6 \text{ m/s}$$

Per il triangolo delle velocita' in ingresso vale:

$$C_{e1} = \sqrt{C_1^2 - C_{m1}^2} = \sqrt{47,3^2 - 16,47^2} = 44,34 \text{ m/s}$$

$$V_1 = \sqrt{C_{m1}^2 + (C_{e1} - u_1)^2} = \sqrt{16,47^2 + (44,34 - 45,3)^2} = 16,49 \text{ m/s}$$

$$\alpha_1 = \arcsin \frac{C_{m1}}{C_1} = \frac{16,47}{47,3} \approx 20,37^\circ$$



$$\beta_1 = 90^\circ + \arccos \frac{C_{m1}}{V_1} = 90^\circ + \frac{\sqrt{16,47^2 + 16,49^2}}{16,49} \approx 93^\circ$$

Per il triangolo in uscita si ha invece:

$$V_2 = \sqrt{u_2^2 + C_2^2} = \sqrt{32,7^2 + 9,6^2} = 34,1 \text{ m/s}$$

$$\beta_2 = \arctan \frac{C_2}{V_2} = \arctan \frac{9,6}{34,1} \approx 15,7^\circ$$

Dal diagramma (7) si valuta il range di variazione del numero di pale della girante $Z_g = Z_{gmax} = 22$; $Z_{gmin} = 12$. Assumiamo

$Z_g = 17$. Il diametro della circonferenza dei perni palari del distributore è $D_{cp} = 1,3 \cdot D_o$

$$D_{cp} = 1,3 \cdot 1,83 = 2,4 \text{ m}$$

$D_{cp} \leq 800 \text{ mm}$	$Z_d = 12$
$D_{cp} = 900 \div 1500 \text{ mm}$	$Z_d = 16$
$D_{cp} = 1500 \div 2400 \text{ mm}$	$Z_d = 20 \div 24$
$D_{cp} \geq 2400 \text{ mm}$	$Z_d = 24$

Tabella 1: Numero di pale del distributore in funzione del diametro dei perni palari

Dalla tabella 1, per il valore di D_{cp} in questione, si ha che il numero di pale del distributore è $Z_d = 24$; come dal testo in esame.

In fine, è possibile verificare il rendimento idraulico:

$$\eta_{id} = \frac{\eta_i \cdot c_1}{g \cdot H_u} = \frac{44,1 \cdot 47,3}{8 \cdot 240} = 0,88$$

il grado di reazione della turbina:

$$\chi = \frac{\eta_i \cdot H_u - \frac{c_1^2}{2g}}{\eta_i \cdot H_u} = \frac{0,88 \cdot 240 - \left(\frac{47,3^2}{2g}\right)}{0,88 \cdot 240} = 0,46$$

valori che appartengono, come il numero di pale caratteristico, al range tipico delle turbine Francis normali,

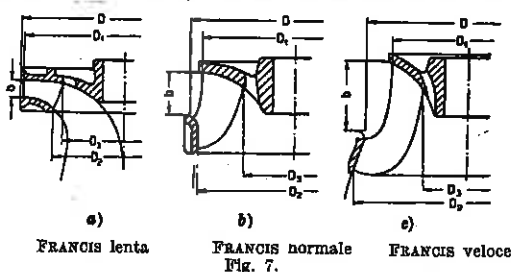
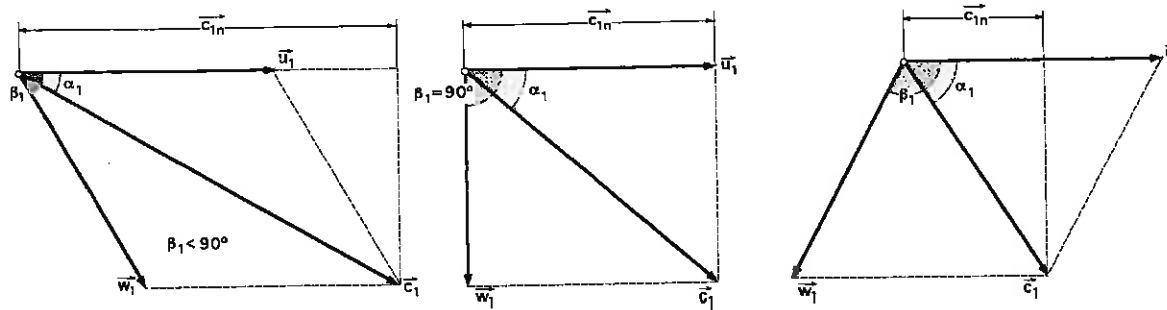


Fig. 7.
a) FRANCIS lenta b) FRANCIS normale c) FRANCIS veloce

Fig. 7	n_s	G	η_i	α_1	D_1	D_2	D_3	b/D
a)	$50 \div 100$	$0,3 \div 0,5$	$0,88 \div 0,86$	$15^\circ \div 25^\circ$	$\sim D$	$\sim 0,7 D$	$0,6 D$	$1/12 \div 1/8$
b)	$100 \div 250$	$\sim 0,5$	$0,86 \div 0,87$	$25^\circ \div 40^\circ$	$\sim 0,9 D$	$\sim D$	$0,5 D$	$1/8 \div 1/6$
c)	$250 \div 450$	$0,5 \div 0,7$	$0,88 \div 0,89$	$40^\circ \div 55^\circ$	$\sim 0,76 D$	$1,1 D$	$0,35 D$	$1/2 \div 1/4$



Rodetes lento

Fig IV.2.- Triángulos de velocidades a la entrada según diversos valores de β_1

Rodetes normales

Rodetes rápidos

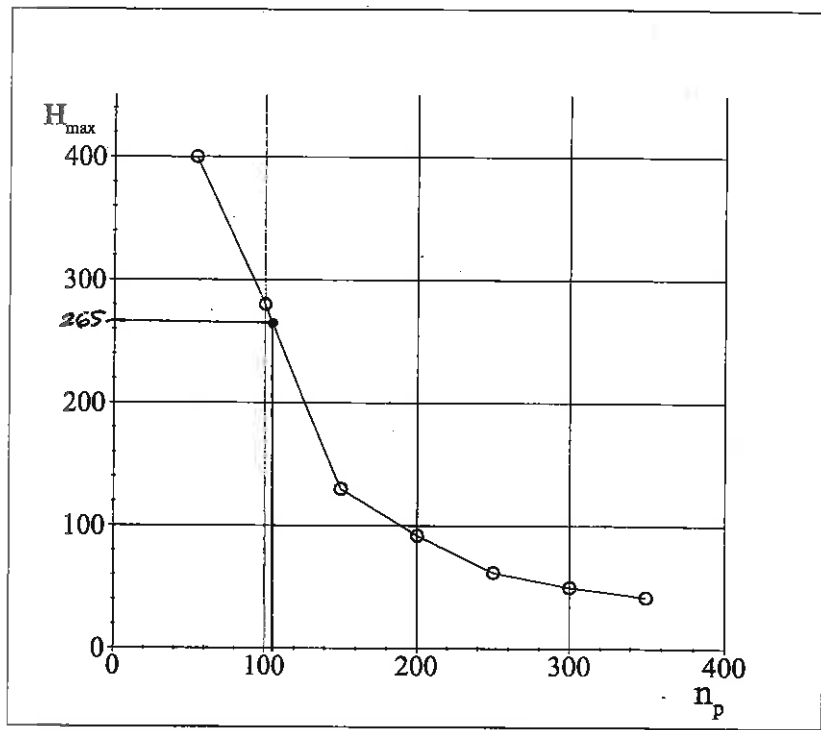


Figura 3: Caduta massima

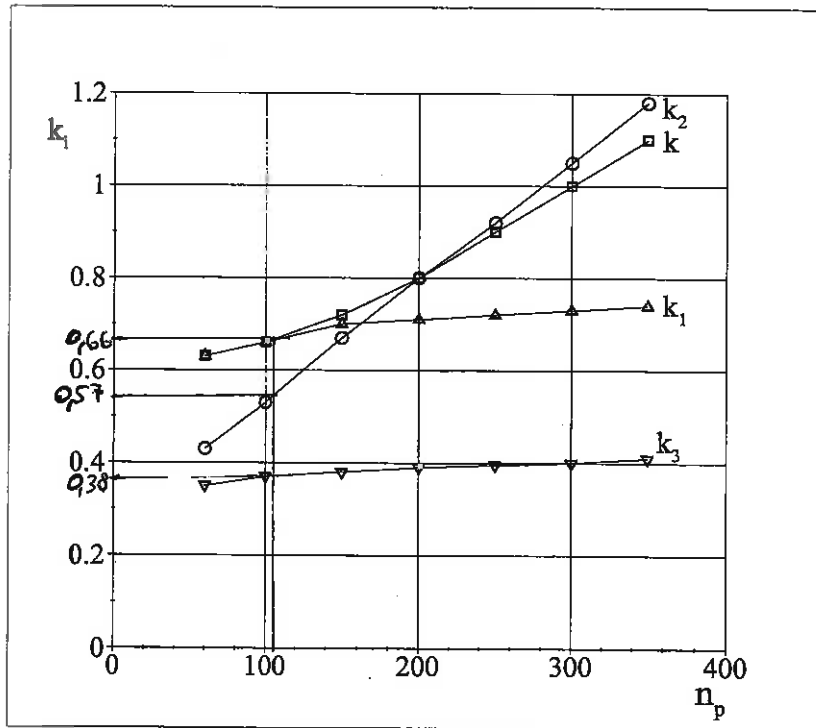


Figura 4: Dimensioni sezione meridiana

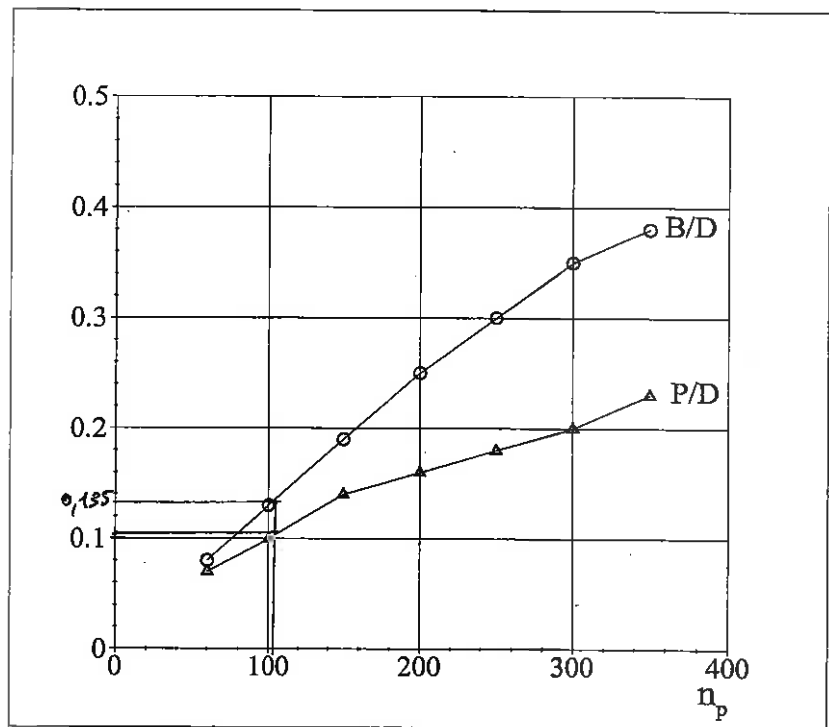


Figura 5: Dimensioni sezione meridiana

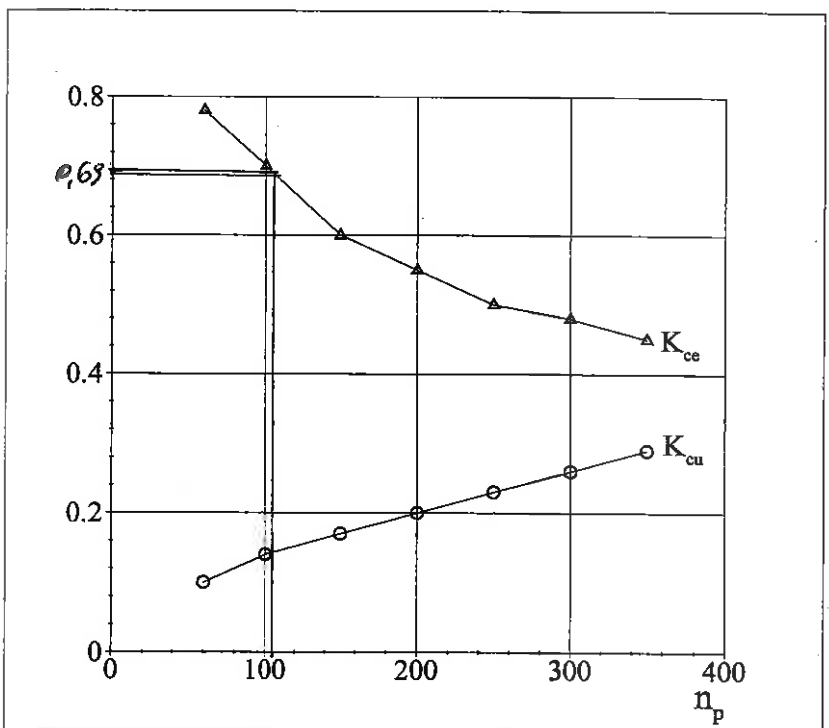


Figura 6: Velocità specifiche di ingresso e uscita macchina

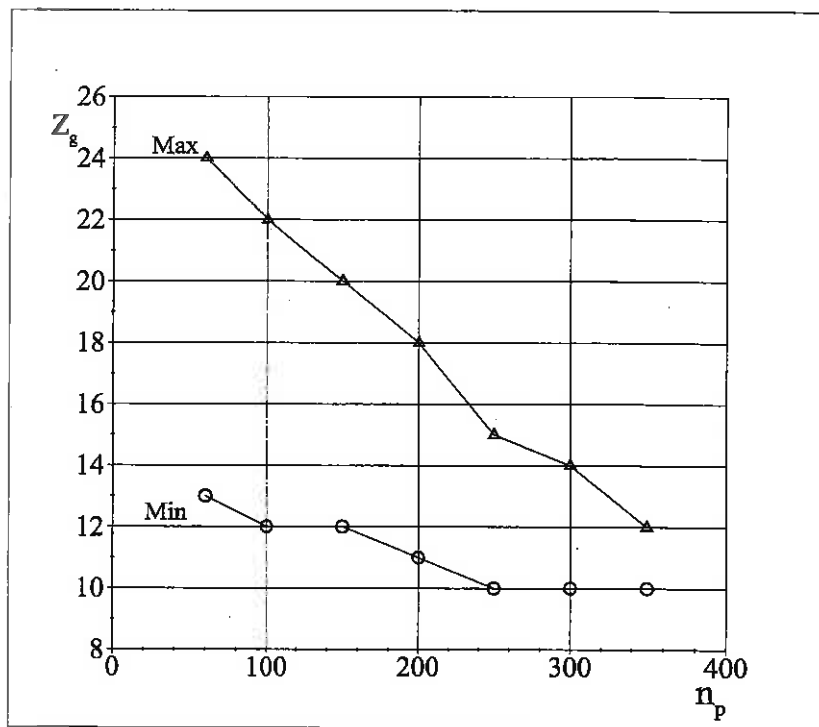


Figura 7: Numero di pale della girante

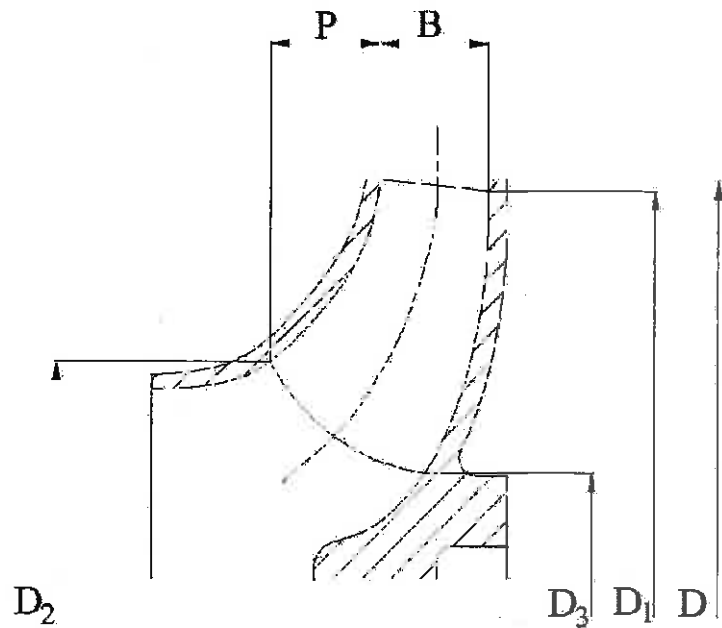


Figura 8: Sezione meridiana